

УДК 677.024:

**МАТЕМАТИЧЕСКАЯ МОДЕЛЬ НАПРЯЖЕННО-ДЕФОРМИРОВАННОГО СОСТОЯНИЯ  
НИТЕЙ ОСНОВЫ НА ТКАЦКОМ СТАНКЕ**

ПОЛИКАРПОВ А.В., аспирант, ОЗЕРКОВА Д.В., магистрант,  
НИКОЛАЕВ С.Д., профессор

Московский государственный университет дизайна и технологии,  
г. Москва, Российская Федерация

**Ключевые слова:** натяжение, основа, деформация, напряженно-деформированного состояния, осциллографма.

**Реферат:** в работе приведена математическая модель напряженно-деформированного состояния нитей основы за один оборот главного вала с учетом вязкоупругих параметров нитей на основе наследственной теории вязкоупругости Больцмана – Вольтера.

В московском государственном университете дизайна и технологии проводятся научные исследования по разработке математических моделей напряженно-деформированного состояния нитей на ткацком станке [1-3]. На рис. 1 представлена кривая изменения натяжения, а на рис. 2 – соответствующий ей график изменения напряжения основы за один оборот главного вала ткацкого станка, на котором можно выделить три характерных точки: 1 – характеризует натяжение основы при застуле; 2 – характеризует натяжение основы при прибоем; 3 – характеризует максимальное натяжение основы при полном открытии зева.

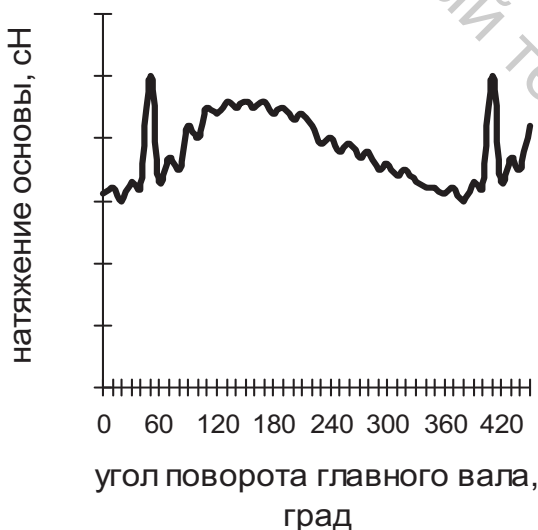


Рисунок 1 – Кривая изменения натяжения основы за один оборот главного вала

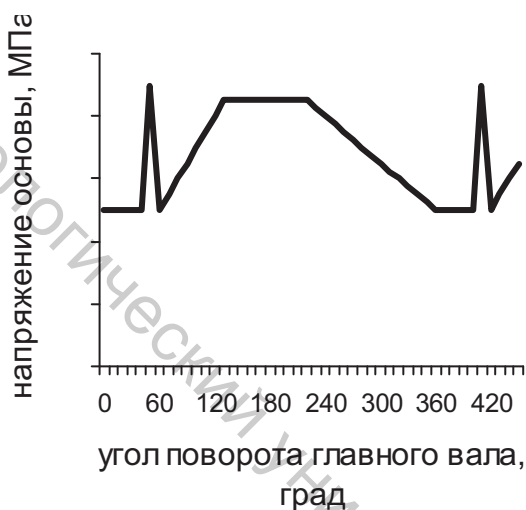


Рисунок 2 – График изменения напряжения основы за один оборот главного вала

Так как для нитей на ткацком станке зависимость между напряжениями и деформациями включает время, то для описания их напряженно-деформированного состояния необходимо использовать теорию наследственной вязкоупругости, разработанную известными учеными Больцманом и Вольтером. Теория основана на двух гипотезах: упругие силы зависят не только от мгновенно полученных смещений, но и от предшествующих деформаций, которые оказывают тем меньшее влияние на них, чем больше времени прошло с момента предшествующих деформаций; влияние полученных в разное время деформаций складывается.

Взаимосвязь напряжения  $s$  и деформации  $e$  основных нитей в различные периоды тканеформирования за один оборот главного вала можно выразить следующими соотношениями:

при  $t_1 \leq t \leq t_2$

$$\varepsilon(t) = \frac{\sigma_1}{E} [1 + \int_{t_1}^t K(\tau) d\tau]; \quad (1)$$

при  $t_2 \leq t \leq t_3$

$$\varepsilon(t) = \frac{\sigma_1}{E} [1 + \int_{t_1}^t K(\tau) d\tau] + \frac{\sigma_2 - \sigma_1}{E(t_3 - t_2)} [(t - t_2) + \int_{t_2}^t K(t - \tau) \tau d\tau], \quad (2)$$

при  $t_3 \leq t \leq t_4$

$$\begin{aligned} \varepsilon(t) = & \frac{\sigma_1}{E} [1 + \int_{t_1}^t K(\tau) d\tau] + \frac{\sigma_2 - \sigma_1}{E(t_3 - t_2)} [(t_3 - t_2) + \int_{t_2}^{t_3} K(t - \tau) \tau d\tau] - \\ & - \frac{\sigma_2 - \sigma_1}{E(t_4 - t_3)} [(t - t_3) + \int_{t_3}^t K(t - \tau) \tau d\tau]; \end{aligned} \quad (3)$$

при  $t_4 \leq t \leq t_5$

$$\begin{aligned} \varepsilon(t) = & \frac{\sigma_1}{E} [1 + \int_{t_1}^t K(\tau) d\tau] + \frac{\sigma_2 - \sigma_1}{E(t_3 - t_2)} [(t_3 - t_2) + \int_{t_2}^{t_3} K(t - \tau) \tau d\tau] - \\ & - \frac{\sigma_2 - \sigma_1}{E(t_4 - t_3)} [(t_4 - t_3) + \int_{t_3}^{t_4} K(t - \tau) \tau d\tau] + \frac{\sigma_3 - \sigma_1}{E(t_5 - t_4)} [(t - t_4) + \int_{t_4}^t K(t - \tau) \tau d\tau] \end{aligned} \quad (4)$$

при  $t_5 \leq t \leq t_6$

$$\begin{aligned} \varepsilon(t) = & \frac{\sigma_1}{E} [1 + \int_{t_1}^t K(\tau) d\tau] + \frac{\sigma_2 - \sigma_1}{E(t_3 - t_2)} [(t_3 - t_2) + \int_{t_2}^{t_3} K(t - \tau) \tau d\tau] - \\ & - \frac{\sigma_2 - \sigma_1}{E(t_4 - t_3)} [(t_4 - t_3) + \int_{t_3}^{t_4} K(t - \tau) \tau d\tau] + \frac{\sigma_3 - \sigma_1}{E(t_5 - t_4)} [(t_5 - t_4) + \int_{t_4}^{t_5} K(t - \tau) \tau d\tau] + \\ & + \frac{\sigma_3 - \sigma_1}{E} [1 + \int_{t_5}^t K(\tau) d\tau]; \end{aligned} \quad (5)$$

при  $t_6 \leq t \leq t_7$

$$\begin{aligned} \varepsilon(t) = & \frac{\sigma_1}{E} [1 + \int_{t_1}^t K(\tau) d\tau] + \frac{\sigma_2 - \sigma_1}{E(t_3 - t_2)} [(t_3 - t_2) + \int_{t_2}^{t_3} K(t - \tau) \tau d\tau] - \\ & - \frac{\sigma_2 - \sigma_1}{E(t_4 - t_3)} [(t_4 - t_3) + \int_{t_3}^{t_4} K(t - \tau) \tau d\tau] + \frac{\sigma_3 - \sigma_1}{E(t_5 - t_4)} [(t_5 - t_4) + \int_{t_4}^{t_5} K(t - \tau) \tau d\tau] + \\ & + \frac{\sigma_3 - \sigma_1}{E} [1 + \int_{t_5}^{t_6} K(\tau) d\tau] - \frac{\sigma_3 - \sigma_1}{E(t_7 - t_6)} [(t - t_6) + \int_{t_6}^t K(t - \tau) \tau d\tau]. \end{aligned} \quad (6)$$

В представленных уравнениях:  $t_i$  – время;  $s_i$  – напряжение нити;  $e_i$  – относительная деформация нити;  $K(t)$  – функция влияния на участке с постоянным напряжением нити;  $K(t - t)$  – функция влияния на участке с постоянной скоростью напряжения нити;  $E$  – модуль упругости нити.

Натяжение основы на ткацком станке изменяется в широком диапазоне времени. Поэтому для описания напряженно-деформированного состояния необходимо выбрать такую функцию, которая бы описывала процесс как при времени близком 0, так и при длительном времени. Такими функциями в математике являются слабосингулярные функции.

Наиболее простой слабосингулярной функцией является ядро релаксации, предложенное А.Р. Ржаницыным:

$$V(t) = Ae^{-\beta t} t^{\alpha-1}. \quad (7)$$

Резольвента этого ядра получена М.А. Колтуновым в виде

$$K(t) = t \sum_0^n \frac{\beta t^n t^{n(\alpha+1)}}{\Gamma[(n+1)(1+\alpha)]}, \quad (8)$$

где  $\Gamma(x)$  – гамма – функция числа  $x$ ;  $A$ ,  $\alpha$ ,  $\beta$  – параметры, характеризующие вязкоупругие свойства нитей.

Для расчета параметров напряженно-деформированного состояния нитей целесообразно использовать ПЭВМ.

Литература:

1. Николаев С.Д., Мартынова А.А., Юхин С.С., Власова Н.А.. Методы и средства исследования технологических процессов ткачества. Монография, М., 2003.-336с.
2. Николаев С.Д. Прогнозирование технологических параметров изготовления тканей заданного строения и разработка методов их расчета. Дис. ... док. техн. наук. – М.: МТИ, 1988 – 470 с.
3. Николаев С.Д. Прогнозирование изготовления тканей заданного строения / Учебное пособие. – М.: МГТА, 1989. – 62 с

УДК 004.932.4

## СТАТИСТИЧЕСКИЕ ПОКАЗАТЕЛИ СХОЖЕСТИ ИСХОДНОГО И ПОЛУЧЕННОГО БИНАРИЗАЦИЕЙ ОЦУ ИЗОБРАЖЕНИЙ

ПРИХАЧ И.В., студент, ГУНДИНА М.А., старший преподаватель

Белорусский национальный технический университет,  
г. Минск, Республика Беларусь

Ключевые слова: бинаризация Оцу, обработка изображений, мера подобия.

Реферат: в работе рассматриваются статистические показатели схожести изображений: исходного и полученного бинаризацией Оцу. Мера структурного подобия представляется в виде произведения трех статистических параметров. Первый – коэффициент корреляции, который измеряет связь между изображениями. Второй параметр демонстрирует сходство средних значений яркости. Третий параметр определяет сходство контрастов двух сравниваемых изображений, который сопоставляет яркости самых светлых и самых тёмных областей снимков.

К оценке качества изображения можно подходить с помощью различных методов: субъективного и количественного. Но оба данных метода имеют свой ряд недостатков. Так к недостаткам субъективного метода оценки можно отнести человеческий фактор, неверно подобранный группу экспертов – такая оценка может быть неточной, особенно, если предметом экспертного анализа является промышленное изображение. С другой стороны, недостатком количественного анализа, особенно, когда необходимо сравнить два изображения, является ограниченность подхода, учитывается только какой-то один фактор. Метод может подходить для снимков с белым шумом, но не может корректно работать при сжатии (кодировании) изображения (метод среднеквадратичной ошибки). Количественные методы зачастую не учитывают структуру изображения и поэтому могут давать одинаковую оценку двум совершенно разным снимкам – такое происходит, к примеру, при использовании нормы Минковского [1].